

## بهینه‌سازی متغیرهای فرایند جوش کاری TIG پالسی به منظور بهبود خواص مکانیکی اتصالات جوش کاری شده در آلیاژ منیزیم \*AZ31

علیرضا امیرخانی<sup>(۱)</sup>علیرضا ابراهیمی<sup>(۲)</sup>رسول آذری خسروشاهی<sup>(۳)</sup>**چکیده**

در این تحقیق، به منظور بهینه‌سازی متغیرهای فرایند جوش کاری TIG پالسی با هدف دست‌یابی به خواص مکانیکی بهینه در جوش‌های آلیاژ منیزیم AZ31 از روش طراحی آزمایش تاگوچی با آرایه‌ی ارتقای  $L_9(3^4)$  استفاده شد. بر این اساس، متغیرهای اصلی فرایند جوش کاری TIG پالسی یعنی شدت جریان بیشینه‌ی پالس ( $I_p$ )، شدت جریان کمینه‌ی پالس ( $I_b$ )، فرکانس پالس ( $F$ ) و سرعت جوش کاری ( $S$ )، هر یک در سه تراز و در چرخه‌ی کاری یکسان بررسی شدند. سپس تأثیر هر یک از متغیرها بر روی استحکام کششی نهایی ( $UTS$ ) و سختی فلز جوش ارزیابی شد. افزون بر این، روش آنالیز واریانس آرما برای انتخاب ترکیب مناسبی از متغیرهای مؤثر در فرایند جوش کاری آلیاژ منیزیم AZ31 به کار گرفته شد. آزمون‌های تجربی برای تأیید نتایج انجام شدند، و نتایج حاصل مطابقت خوبی با نتایج پیش‌بینی شده‌ی بهینه نشان دادند. در نهایت، ریزساختار اتصالات جوش‌ها با توجه به خواص مکانیکی آن‌ها مطالعه شدند.

**واژه‌های کلیدی** جوش کاری TIG پالسی، روش تاگوچی، آلیاژ منیزیم AZ31، خواص مکانیکی.

## Optimization of the Processing Parameters of Pulsed TIG Welding for the Enhancement of Mechanical Properties of Welds in AZ31 Magnesium Alloy

A.R. Amir khani

A.R. Abrahimi

R.A. Khosroshahi

**Abstract**

In this research, Taguchi method with the orthogonal array of  $L_9(3^4)$  was used in order to optimize the parameters of pulsed TIG welding for obtaining the optimum mechanical properties ( $UTS$ ) in AZ31 Magnesium alloy Weldments. For this reason, the main parameters of pulsed TIG welding including the peak current (80-120 A), the base current (20-40 A), the pulse frequency (1.6-5 Hz), and the welding speed (200-300 mm/min) were investigated in three levels with the same duty cycle. Then, the effect of each parameter on the ultimate tensile strength ( $UTS$ ) of the alloy was evaluated. In addition, in order to choose a proper set of parameters, the results were examined by variance analysis method (ANOVA). Experiments were conducted to confirm the results. The results were found to have a good agreement with the predicted results. Microstructures of all the welds were studied, and their relations with the mechanical properties were evaluated.

**Key Words** Pulsed TIG Welding, Taguchi Method, AZ 31 Magnesium Alloy, Mechanical Properties.

\* نسخه‌ی نخست مقاله در تاریخ ۹۰/۱۲/۱۶ و نسخه‌ی پایانی آن در تاریخ ۹۱/۷/۱۷ به دفتر نشریه رسیده است.

(۱) نویسنده‌ی مسئول: دانشجوی دکترا، مهندسی مواد، پژوهشگاه مواد و انرژی

(۲) دانشیار، دانشکده مهندسی مواد، دانشگاه صنعتی سهند تبریز

(۳) دانشیار، دانشکده مهندسی مواد، دانشگاه صنعتی سهند تبریز

جوشکاری TIG پالسی، ریزدانگی قابل توجهی در نواحی ذوب به وجود می‌آید و در نتیجه، خواص مکانیکی اتصالات آلیاژهای آلومینیم بهبود می‌یابد [11,9].

هدف از انجام این تحقیق، بهینه‌سازی متغیرهای فرایند جوشکاری TIG پالسی برای بهبود خواص مکانیکی اتصالات (استحکام کششی نهایی و سختی فلز جوش) با استفاده از روش تاگوچی می‌باشد. روش طراحی آزمایش تاگوچی ابزاری نیرومند برای تعیین متغیرهای مهم در میان انبوهی از متغیرها با انجام تعداد کمی آزمایش (کاوش هزینه‌ها) می‌باشد. این روش، [12,13]، می‌تواند به ارزش‌یابی تأثیر هر یک از متغیرها به صورت مستقل بر ویژگی نشانه (استحکام کششی نهایی و سختی) پپردازد. روش تاگوچی به میزان زیادی برای بهبود خواص مکانیکی فلزات در فرایندهای جوشکاری به کار رفته است [7,14-17]. محققین مربوطه به این نتیجه رسیده‌اند که هر یک از متغیرهای جوشکاری پالسی دارای محدوده خاصی است که عبور از آن‌ها منجر به افت خواص مکانیکی اتصالات می‌شود.

### مواد و روش تحقیق

در این تحقیق، از ورق آلیاژ منیزیم AZ31 در شرایط ریخته‌گی استفاده شد. ترکیب شیمیایی این آلیاژ در جدول (۱) آورده شده است. عوامل عمدی و مؤثر بر هندسه‌ی حوضچه‌ی جوش و ریزدانگی نواحی ذوب در جوشکاری TIG پالسی، از منابع مرتبط [7-10,14]، به دست آمدند. با وجود محدوده تغییرات وسیع عوامل مؤثر، تنها چهار عامل اصلی پالس یعنی، (i) شدت جریان بیشینه (peak current)، (ii) شدت جریان کمینه (base Current)، (iii) فرکانس پالس، و (iv) سرعت جوشکاری، و هر کدام در ۳ سطح بررسی شدند. تراز عوامل به صورت تجربی و با آزمایش‌های زیادی که حول و حوش مقادیر ثبت شده در استاندارد برای متغیرهای جوشکاری TIG پالسی آلیاژهای منیزیم با توجه به ضخامت ورق انجام شده‌اند، [18]، به دست آمدند. محدوده‌ی متغیرهای

### مقدمه

منیزیم به علت چگالی کم و نسبت بالای استحکام به وزن، از اهمیت بسیار زیادی در کاربردهای صنعتی از قبیل خودروسازی، هواپما و الکترونیک برخوردار است. با این وجود، به دلیل شکل پذیری کم منیزیم، استفاده از آلیاژهای آن تاکنون محدود بوده و به استثنای تولید ورق‌های منیزیمی، فرایندهای جوشکاری تنها راه افزایش کاربرد منیزیم در صنایع مختلف است [1]. در مقایسه با روش‌های دیگر جوشکاری، تکنولوژی جوشکاری TIG مهم‌ترین روش جوشکاری آلیاژهای منیزیم، به دلیل مزایای فرایند از جمله اقتصادی بودن آن، می‌باشد [2,3]. برخلاف جوشکاری با جریان ثابت، در جوشکاری پالسی TIG انرژی حرارتی فقط با برقراری جریان بالا (peak current) در فلز پایه فراهم می‌شود، و با پراکنده شدن در زمان جریان زمینه (background current) انجام انجام می‌شود. نیده‌هام، [4]، با تغییر حرارت ورودی بین دو مقدار بیشینه و کمینه، بیان کرده است که قطعه به طور متناوب دچار ذوب و انجام می‌شود، و خط جوش شامل یکسری دکمه‌ی جوش همپوشانی شده است. جریان بیشینه، رسوب مناسب و شکل دانه‌های فلز، جوش را کترنل می‌کنند. با توجه به این‌که در این روش گرمای ورودی به فلز پایه کاوش می‌یابد، ناحیه‌ی ذوب دانه ریزتر و کیفیت جوش بالاتر است [5]. مزایای متالورژیکی جریان پالسی شامل ریزدانگی ناحیه‌ی ذوب، کترنل جداش‌ها، کاوش اعوجاج و حرارت ورودی، در تحقیقات مختلف ذکر شده‌اند [6].

افزون بر این، محققین تحقیقات گسترده‌ای بر روی خواص مکانیکی اتصالات جوش در فرایندهای جوشکاری TIG پالسی انجام داده‌اند، و شرایطی را برای رسیدن به بهترین خواص مکانیکی اتصالات به وجود آورده‌اند [7-10]. تحقیقات بالاسوپر ایما و همکاران، [7]، نشان می‌دهد که متغیرهای جریان پالسی تأثیر بسیاری بر خواص مکانیکی آلیاژهای تیتانیم دارد، و برای هر یک از آن‌ها مقدار بهینه‌ای وجود دارد. افزون بر این، محققین گزارش کرده‌اند که با انجام

با استفاده از جریان متناوب مربعی شکل انجام شد. هدف دست‌یابی به خاصیت تمیزکاری کاتدی حین جوشکاری، به‌دلیل تمايل بالای منیزیم به اکسایش، [19]، بود. جوشکاری بدون فلز پرکننده در یک پاس و بر اساس ردیف آزمایش‌های جدول ۴ بر روی ورق‌هایی با ابعاد  $50\text{ mm} \times 2\text{ mm} \times 100\text{ mm}$  در راستای عرضی انجام شد.

جوشکاری TIG پالسی برای ایجاد اتصالات، در جدول (۲) آورده شده است. متغیرهای دیگر جوشکاری که ثابت در نظر گرفته شدند، در جدول (۳) نشان داده شده‌اند. با توجه به تعداد متغیرها و تراز آن‌ها، از آرایه‌ی ارتوگال (۳۴L9) استفاده شد. این آرایه در جدول ۴ ارائه شده است. فرایند جوشکاری با استفاده از دستگاه جوشکاری TIG خودکار با فرکانس بالا (PSQ250-AC/DC) با جریان پالسی مربعی بالанс

جدول ۱ ترکیب شیمیایی آلیاژ منیزیم AZ31 مورد استفاده در این تحقیق

آلیاژ AZ31	مقدار عنصر (wt.%)						
	Al	Zn	Mn	Si	Cu	Fe	Mg
۳۰/۰۲۳	۱/۱۱۷	۰/۳۷۵	۰/۰۲	۰/۰۰۲	۰/۰۰۴	۰/۰۰۴	مایعی

جدول ۲ مهم‌ترین متغیرهای فرایند جوشکاری پالسی و تراز آن‌ها

نماد	متغیر	تراز ۱			تراز ۲		تراز ۳	
		A	۸۰	۱۰۰	۱۲۰	I <sub>p</sub>	جریان بیشینه	I <sub>b</sub>
S	سرعت جوشکاری mm/min	A	۲۰	۳۰	۴۰			
F	فرکانس پالس Hz		۱/۶	۲/۵	۵			

جدول ۳ عوامل ثابت حین جوشکاری

نوع فرایند	P-GTAW <sup>(a)</sup>
نوع جریان	AC
نسبت پالس	%۵۰
قطر الکترود	۲/۴ mm
تنگستن با٪۲ اکسید توریم	
طول قوس	۱ mm
نوع گاز محافظ	آرگون خالص (۹۹/۹٪)
نرخ دبی گاز	۱۲ lit/min

(a) Pulse Gas Tungsten Arc Welding

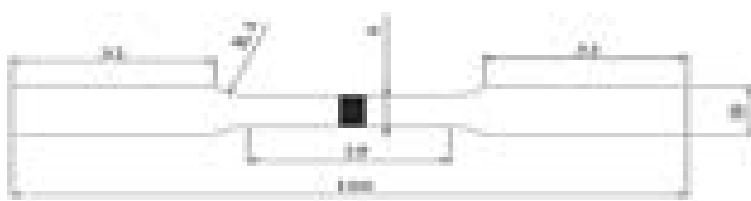
میانگین دو آزمون برای استحکام کششی نهایی و چهار آزمون برای سختی سنجی در جدول (۴) نشان داده شده‌اند. با توجه به این که استحکام کششی نهایی بالاتر مطلوب‌تر است، در روش تاگوچی (نرم‌افزار-Qualitek 4) از گرینه‌ی هر چه بزرگ‌تر بهتر (Bigest is the Best) استفاده شد. بر این اساس، میانگین جواب‌ها برای هر عامل در ترازهای مختلف بدست آمد. این نتایج در جدول (۵) برای متغیرهای مختلف نشان داده شده‌اند. با توجه دقیق در جدول ۵ می‌توان نتیجه گرفت که ترازهای بهینه‌ی متغیرها برای هر یک از دو ویژگی نشانه، یعنی استحکام کششی نهایی اتصالات و سختی، جریان بیشینه ( $I_p$ ) در تراز ۱، جریان کمینه ( $I_b$ ) در تراز ۲، سرعت (S) در تراز ۲ و فرکانس پالس (F) در تراز ۳ هستند.

هدف از آنالیز واریانس آنوا (ANOVA)، بررسی سهم هر یک از متغیرها در ویژگی نشانه است. نتایج واریانس برای استحکام کششی نهایی اتصالات در جدول (۶) و برای سختی فلز جوش در جدول (۷) نشان داده شده‌اند. جدول (۶)، جدولی ادغام شده‌ی آنوا نامیده می‌شود، زیرا متغیرهایی که تأثیر قابل توجه‌ای بر استحکام کششی نهایی ندارد (آن‌هایی که میانگین جواب ترازهایشان نزدیک به یکدیگر است) ادغام شده‌اند. در این حالت، متغیر سرعت جوش کاری، با توجه به شکل (۵-پ)، ادغام شده است. همان‌گونه که در جدول (۶) مشاهده می‌شود، جریان بالایی پالس (۵۸/۵٪) و فرکانس پالس (۸۴٪/۲۳٪) بیشترین تأثیر را بر استحکام کششی نهایی اتصال دارند.

قبل از انجام جوشکاری، سطح ورق‌ها به‌منظور رفع آلودگی‌های سطحی نظیر چربی‌ها، با آستین شسته شدن و سپس، برای اکسیدزدایی سطحی با بُرسی از جنس فولاد زنگ‌نزن برس زده شدن. به‌منظور انجام آزمون کشش، نمونه‌ها از بخش میانی اتصال جوش‌ها تهیه و مطابق با استاندارد ASTM E8 [۲۰]، ماشین کاری شدن. هندسه‌ی نمونه‌های آزمون کشش در شکل (۱) آورده شده است. برای اطمینان از موقع شکست در فلز جوش در نمونه‌های آزمون کشش، شیاری به‌عمق ۱ میلی‌متر در فلز جوش تعییه شد. آزمون کشش با استفاده از دستگاه کشش یونیورسال (Instron Corporation Series IX) با سرعت حرکت فک برابر  $5\text{ mm/min}$  انجام شد. برای ریزسختی سنجی، از روش ویکرز با نیروی  $30\text{ g}\text{ram}$  با مدت زمان  $15\text{ ثانیه}$  استفاده شد. استحکام کششی نهایی و سختی اتصالات با استفاده از نرم‌افزار 4-Qualitek ارزیابی شدن. پس از جوشکاری، مقاطع عرضی از بخش میانی هر یک از جوش‌ها، به‌منظور کسب اطمینان از وجود مشخصه‌های واقعی جوشکاری، تهیه شدن، و پس از انجام مراحل مانت و سمباده‌زنی، صیقل کاری شدن. سپس نمونه‌ها در محلولی حاوی  $4/2\text{ gr}$  اسید پیکریک،  $10\text{ ml}$  اسید آستیک،  $10\text{ ml}$  آب و  $70\text{ ml}$  اتانول، به‌مدت  $15$  تا  $30\text{ ثانیه}$  حکاکی شدن. افزون بر این، برای تعیین اندازه‌ی دانه‌های ریزساختارها، از روش تقاطع خطی مطابق با استاندارد ASTM E112 استفاده شد.

#### ارائه نتایج و بحث

آزمون‌های کشش و سختی سنجی بر اساس آرایه‌ی ارتوگنال تاگوچی (L9) [۳۴] انجام شدند، و نتایج



شکل ۱ هندسه‌ی نمونه‌ی آزمون کشش [۲۰]

جدول ۴ آزمایش‌های طراحی شده با استفاده از آرایه‌ی ارتونگال (۳۴) L9 و نتایج آزمایش‌ها برای استحکام کششی نهایی

شماره آزمایش	متغیرها و تراز آن‌ها					استحکام کششی نهایی (UTS) MPa	سختی فلز جوش (عدد سختی ویکرز)
	جریان بیشینه ( $I_p$ )	جریان کمینه ( $I_b$ )	سرعت جوشکاری (S)	فرکанс (F)			
۱	۱	۱	۱	۱	۱	۱۹۷/۹۱۷	۶۷/۳
۲	۱	۲	۲	۲	۲	۲۳۰/۷۱۴	۷۳/۸
۳	۱	۳	۳	۳	۳	۲۱۴/۸۸	۶۹/۴
۴	۲	۱	۲	۳	۳	۲۲۲/۷۹۸	۷۱/۱
۵	۲	۲	۳	۱	۱	۱۷۹/۸۲۱	۶۴/۲
۶	۲	۳	۱	۲	۲	۱۶۵/۱۱۹	۶۳/۸
۷	۳	۱	۳	۲	۲	۱۴۱/۳۶۹	۶۲/۱
۸	۳	۲	۱	۳	۳	۱۸۲/۲۱۴	۶۵/۱
۹	۳	۳	۲	۱	۱	۱۰۴/۰۴۷	۶۰/۴

جدول ۵ میانگین استحکام کششی نهایی و سختی فلز جوش برای هر متغیر در ترازهای مختلف

پارامتر	میانگین استحکام کششی نهایی (UTS)			میانگین سختی فلز جوش (VHN)		
	تراز نخست	تراز دوم	تراز سوم	تراز نخست	تراز دوم	تراز سوم
( $I_p$ ) جریان بیشینه	۲۱۴/۵	۱۸۹/۳	۱۴۲/۹	۷۰/۱۷	۶۶/۳۷	۶۲/۵۴
( $I_b$ ) جریان کمینه	۱۸۷/۴	۱۹۷/۹	۱۶۱/۳	۶۶/۸۳	۷۷/۷	۶۴/۵۴
(S) سرعت جوشکاری	۱۸۲/۱	۱۸۵/۸	۱۷۸/۷	۶۵/۴	۶۸/۴۴	۶۵/۲۴
(F) فرکانس پالس	۱۶۰/۶	۱۷۹/۱	۲۰۷	۶۳/۹۷	۶۶/۵۷	۶۸/۵۳

جدول ۶ آنالیز آنوا برای استحکام کششی نهایی

نماد	متغیر	درجه‌ی آزادی (DOF)	مجموع مریعات (S)	واریانس (V)	F-Ratio	مجموع مریعات خالص (S')	درصد مشارکت ( $\rho$ , %)
$I_p$	جریان بیشینه	۲	۷۹۱۸/۴۹	۳۹۵۹/۲۵	۱۰۲/۸	۷۸۴۱.۴۶	۵۸/۵۶
$I_b$	جریان کمینه	۲	۲۱۲۵/۲۹	۱۰۶۲/۶۳	۲۷/۶	۲۰۴۸/۲۳	۱۵/۳
S	سرعت جوشکاری	-	ادغام شده	-	-	-	-
F	فرکانس	۲	۳۲۲۹/۵۹	۱۶۳۴/۷۷	۴۲/۴۵	۳۱۹۲/۵۱	۲۲/۸۴
Error	خطا	۲	۷۷/۰۳	۳۸/۵۲	-	۳۰۸/۱۳	۲/۳
کل	-	۸	۱۳۳۹۰/۲۲	-	-	-	۱۰۰ %

به آلومینیم به راحتی تبخیر می‌شوند (نسبت نقاط ذوب به جوش فلزات آلومینیم، منیزیم و روی بر حسب دمای مطلق به ترتیب برابرند با ۹۲۳/۱۳۸۰، ۹۳۳/۲۲۳۳ و ۹۲۳/۱۳۸۰)

این رفتار را می‌توان چنین تحلیل کرد که حین جوشکاری، منیزیم و روی در دمای بالا، به دلیل داشتن نقاط ذوب و جوش پایین‌تر و فشار بخار بالاتر نسبت

مقدار آن از جدول (۵) برای استحکام کششی نهایی برابر با  $182/2$  و برای سختی فلز جوش برابر با  $673$  به دست می‌آید. افزون بر این،  $I_{p1}$ ،  $I_{p2}$  و  $F_3$  مقادیر میانگین مربوط به استحکام کششی نهایی در ترازهای بهینه متغیرها می‌باشند که از جدول (۵) به دست می‌آیند. اگر شرایط بهینه آزمایش در رابطه‌ی  $1$  قرار داده شود،تابع ارائه شده عدد  $254/9$  MPa را برای استحکام کششی نهایی و  $75/76$  را برای سختی فلز جوش پیش‌بینی خواهد کرد. به منظور ارزیابی نتایج پیش‌بینی شده، آزمایش‌ها بر اساس ترکیب متغیرهای بهینه انجام شدند. در جدول (۸)، نتایج پیش‌بینی شده و آزمایشگاهی بر اساس شرایط بهینه با یکدیگر مقایسه شده‌اند. آشکار است که مطابقت خوبی بین نتایج آزمایش‌ها و نتایج بهینه پیش‌بینی شده وجود دارد.

شکل (۲) ریزساختار ناحیه اتصال جوش TIG پالسی آلیاژ AZ31 برای آزمایش شماره‌ی  $4$  را نشان می‌دهد. فلز پایه ساختاری مشتمل از دانه‌های یکنواخت با اندازه دانه‌ی متوسط  $22/2$  میکرون دارد (شکل ۲-الف). این ساختار ناشی از تبلور مجدد حین نورد گرم می‌باشد. شکل (۲-ب) نشان‌دهنده ریزساختار فلز پایه در فاصله‌ی  $3$  میلی‌متری از مرکز فلز جوش است که شامل بلورهای هم محور می‌باشد. شکل (۲-پ) منطقه‌ی مرز جوش را نشان می‌دهد. در این ناحیه، دانه‌ها در فلز جوش رشد هم بافت‌های از دانه‌های فلز پایه را دارند. شکل ۲-ت ریزساختار در ناحیه چسبیده به مرز مذاب/جامد و در فلز پایه را نشان می‌دهد که در آن، دانه‌ها در مقایسه با دانه‌های شکل (۲-ب) درشت‌تر شده‌اند. این پدیده حین جوشکاری اتفاق افتد است، و دلیل آن افزایش دمای این ناحیه به بالاتر از دمای تبلور مجدد برای آلیاژهای منیزیم سری AZ (حدود  $205^{\circ}\text{C}$ ) [25] می‌باشد. شکل‌های (۲-ث) و (۲-ج) ریزساختارهای ناحیه ذوب را نشان می‌دهند. این ناحیه شامل فاز سفید رنگ  $\alpha\text{-Mg}$  و فاز تیره‌ی یوتکتیک  $\beta\text{-Mg}_{17}\text{Al}_{12}$  می‌باشد. همان‌گونه که مشاهده می‌شود، این ناحیه از دانه‌های ریز و هم محور تشکیل شده است.

آلیاژهای Mg-Al-Zn به علت تشکیل محلول جامد و افزایش حلایت آلومینیم است. در حقیقت، تبخیر روی در جریان بیشینه بیشتر می‌شود و در نتیجه، گرمای ورودی بالاتر منجر به کاهش تأثیر استحکام‌دهی محلول جامد آلومینیم و روی در اتصالات می‌شود. افزون بر این، افزایش سختی را می‌توان به ریز بودن دانه‌ها در گرمای ورودی کمتر، به دلیل جریان بیشینه‌ی کمتر (تراز نخست) و تأثیر استحکام‌دهی فاز سخت و پراکنده  $\beta\text{-Mg}_{17}\text{Al}_{12}$  مربوط دانست.

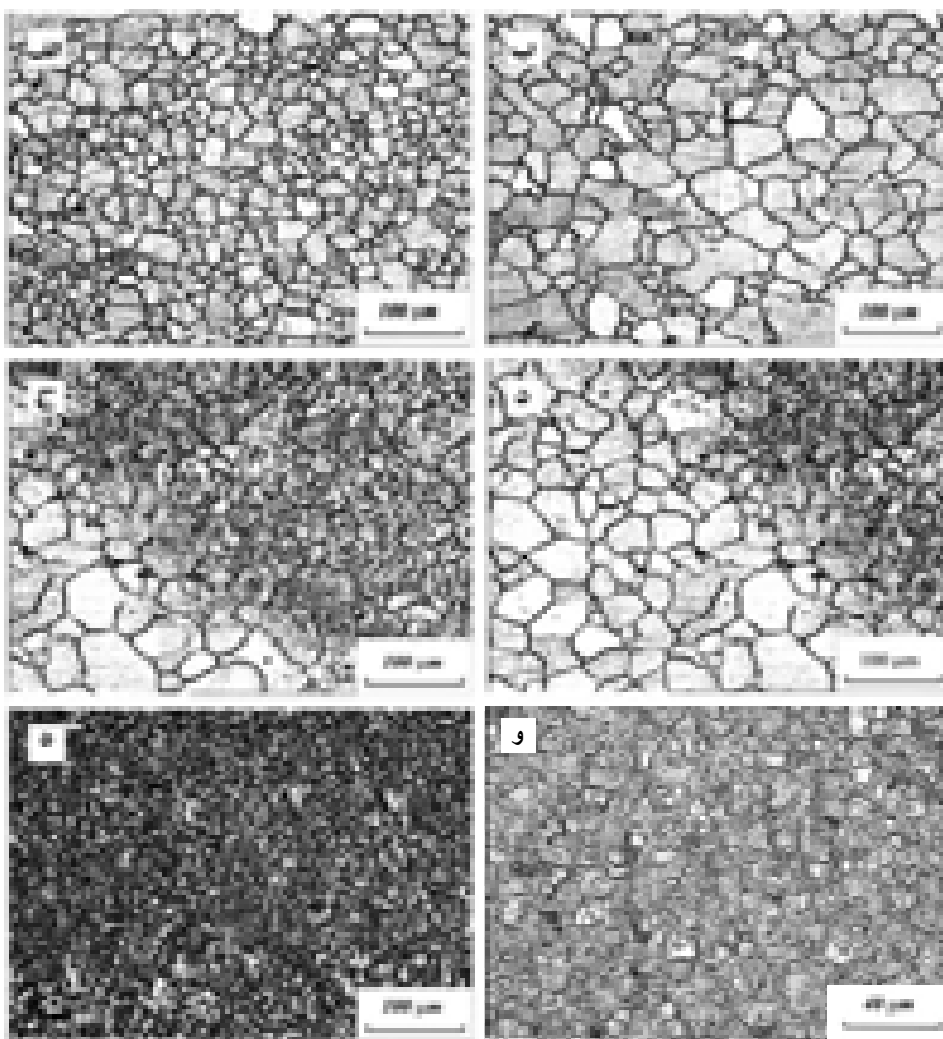
در مطالعه‌ی کومار و همکاران، [11, 10, 5]، بر روی جوش‌های TIG پالسی فلزات آلومینیم و تیتانیم به بهبود خواص مکانیکی با افزایش فرکانس پالس اشاره شده است. این پژوهش گران ادعا کرده‌اند که افزایش فرکانس پالس منجر به ایجاد اختلال بیشتر گرمایی و مکانیکی می‌شود، به گونه‌ای که پیامد شکل‌گیری دانه‌های ریزتر و هم محور در فلز جوش خواهد بود. هم‌چنان که محققین دیگر، [23, 22] گزارش کرده‌اند، هنوز سازوکار خاصی برای ریزدانه شدن فلز جوش در جوش‌های پالسی وجود ندارد. با این وجود، توافق در سه مورد حاصل شده است: ۱- سرعت سرمایش بالاتر به علت گرمای ورودی کمتر، ۲- افزایش اختلال و اغتشاش در حوضچه‌ی جوش که منجر به شکست دندانیت‌ها و سلول‌های در حال رشد می‌شود، و ۳- جوانه‌زنی سطحی که منجر به افزایش دانه‌ها و پیدایش دانه‌های ریزتر در جوش‌های پالسی می‌شود. [24]

آخرین مرحله در روش تاگوچی، پیش‌بینی و تأیید بهبود ویژگی نشانه با استفاده از ترازهای بهینه متغیرهای است. استجکام کششی نهایی پیش‌بینی شده را می‌توان با استفاده از رابطه‌های زیر محاسبه کرد:

$$\bar{T} = \frac{T}{n} \quad (1)$$

$$Y = \bar{T} + (I_{p1} - \bar{T}) + (I_{b2} - \bar{T}) \\ + (S_2 + \bar{T}) + (F_3 + \bar{T})$$

که در آن‌ها،  $\bar{T}$  میانگین کل جواب‌های است که



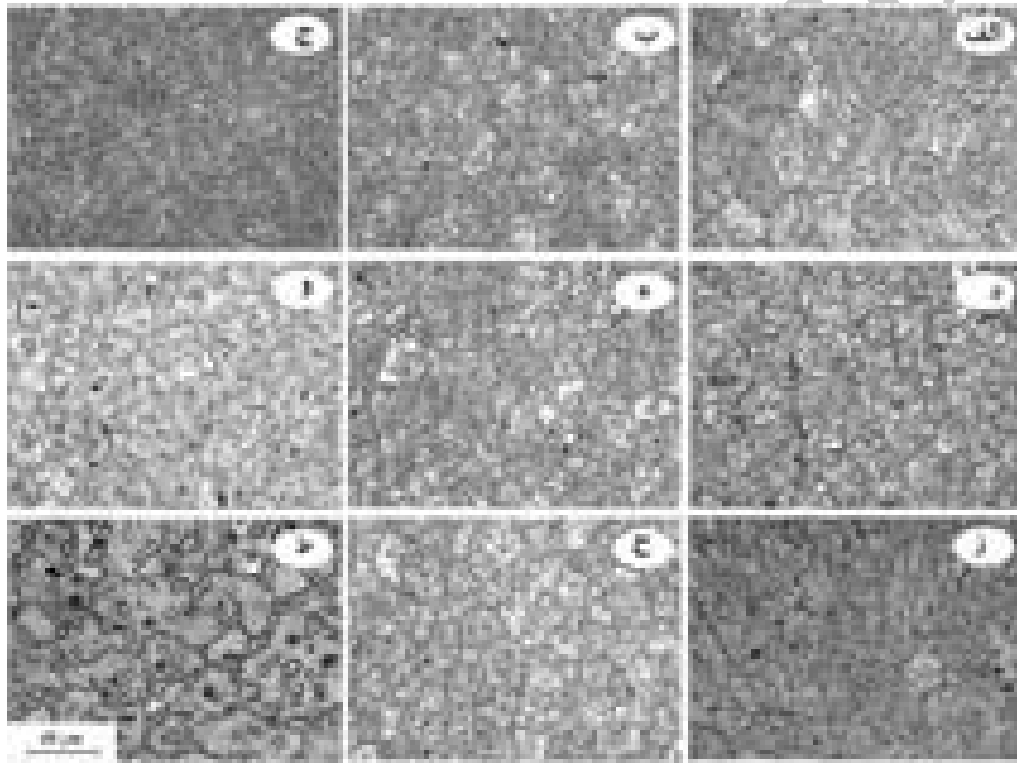
شکل ۲ ریزساختار اتصال جوش مربوط به آزمایش شماره ۴؛ (الف) ریزساختار فلز پایه AZ31، (ب) ریزساختار فلز پایه در فاصله ۳ میلی‌متری از مرکز جوش، (پ و ت) مرز جوش، و (ث و ج) ناحیه‌ی جوش

جدول ۷ آنالیز آنوا برای سختی فلز جوش

نماد	متغیر	درجه‌ی آزادی (DOF)	مجموع مربعات (S)	واریانس (V)	F-Ratio	مجموع مربعات خالص (S')	درصد مشارکت ( $\rho$ , %)
I <sub>p</sub>	جریان بیشینه	۲	۸۷/۴۰۶	۴۳/۷۰۳	-	۸۷/۴۰۶	۵۷/۶۰۱
I <sub>b</sub>	جریان کمینه	۲	۱۶/۰۶۷	۸/۰۳۳	-	۱۶/۰۶۷	۱۰/۴۰۴
S	سرعت جوشکاری	۲	۱۹/۴۶۹	۹/۷۳۴	-	۱۹/۴۶۹	۱۲/۶۰۷
F	فرکانس	۲	۳۱/۴۷۷	۱۵/۷۳۸	-	۳۱/۴۷۷	۲۰/۳۸۳
Error	خطا	*	-	-	-	-	-
کل	-	۸	۱۵۴/۴۲۴		-	-	۱۰۰%

جدول ۸ تأیید نتایج بهینه

ویژگی نشانه	شرایط آزمایش	مقدار بهینه		مقدار آزمایشگاهی
		مقدار بهینه	آزمایشگاهی	
استحکام کششی (MPa) نهایی	Ip <sub>1</sub> I <sub>b</sub> S <sub>2</sub> F <sub>3</sub> یعنی: جریان بیشینه در تراز ۱ (۸۰A)، جریان کمینه در تراز ۲ (۳۰A)، سرعت جوشکاری در تراز ۲ (۲۴۰mm/min) و فرکانس پالس در سطح (۵Hz)	۲۵۵	۲۵۳	
سختی فلز جوش (VHN)		۷۷	۷۵	



شکل ۳ تصویرهای ریزساختار فلز جوش اتصال در جوشکاری پالسی؛ (الف) آزمایش ۱، (ب) آزمایش ۲، (پ) آزمایش ۳، (ت) آزمایش ۴، (ث) آزمایش ۵، (ج) آزمایش ۶، (چ) آزمایش ۷، (ح) آزمایش ۸، (ط) آزمایش ۹. همه تصویرها دارای بزرگنمایی یکسان و برابر با تصویر (ط) هستند.

ریزساختارهای آلیاژ در مرکز جوش های پالسی بر اساس ترتیب آزمایش های تاگوچی در شکل (۳) نشان داده شده‌اند. همان‌طور که دیده می‌شود، در نمونه‌ی مربوط به آزمایش شماره‌ی ۳ در مقایسه با نمونه‌های دیگر، دانه‌های ریزتر و هم محوری تشکیل شده‌اند. نتیجه‌گیری تأثیر متغیرهای جوشکاری TIG پالسی مانند جریان

دارند. استحکام کششی نهایی معادل  $253\text{ MPa}$  و سختی فلز جوش معادل  $75$  ویکرز به صورت آزمایشگاهی بهینه شد. رفتار مکانیکی فلز جوش در شرایط بهینه  $(\text{Ip}_1\text{I}_{\text{b}2}\text{S}_2\text{F}_3)$  به مقدار بیشتر رسوب  $\alpha\text{-Mg}$  فاز سخت و پراکنده  $\beta\text{-Mg}_{17}\text{Al}_{12}$  در زمینه  $\text{Mg}$  مربوط می‌شود. افزون بر این، بررسی تصاویر متالوگرافی نشان داد که در مرکز جوش ساختار ریزدانه به وجود آمده که باعث افزایش بیشتر خواص مکانیکی شده است.

بیشینه‌ی پالس، جریان کمینه‌ی پالس، سرعت جوش کاری و فرکانس پالس، برخواص مکانیکی (استحکام کششی نهایی و سختی) در آلیاژ منیزیم  $\text{AZ31}$  مطالعه شد و نتایج زیر به دست آمدند:

- برای هر دو ویژگی نشانه، یعنی استحکام کششی نهایی و سختی فلز جوش، شرایط بهینه‌ی یکسانی برای  $(\text{Ip}_1\text{I}_{\text{b}2}\text{S}_2\text{F}_3)$  به دست آمد، و مشخص شد که شدت جریان بیشینه و فرکانس پالس بیشترین تأثیر را بر استحکام کششی نهایی (UTS) و سختی فلز جوش

#### مراجع

1. Kulekci. M. K., "Magnesium and its alloys applications in automotive industry" *The International Journal of Advanced Manufacturing Technology*, Vol. 39, pp 851-865, (2008).
2. Cao, X., Jahazi. M., Immarigeon, J. P., Wallace, W., "A review of laser welding techniques for magnesium alloys" *Journal of Materials Processing Technology*, Vol. 171, pp. 188-20, (2006).
3. Munitz, A., Cotler, C., Stern, A., Kohn, G., "Mechanical properties and microstructure of gas tungsten arc welded magnesium AZ91D plates", *Materials Science and Engineering*, Vol. 302. pp. 68-73, (2001).
4. Needham, J. C., "Pulsed Current Tungsten Arc Welding – an introduction to the process", *Pulsed TIG Welding Seminar*, UK, P1, (1973).
5. Senthil Kumar T., Balasubramanian, V., and Sanavullah, M. Y., "Effect of pulsed current TIG welding parameters on tensile properties of AA6061 aluminium alloy", Indian Welding Society. PP. 29-39, (2005).
6. Gokhale, A. A., Tzavaras, A. A., Brody, H. D., Ecer, G. M., Abbaschian, G. J., and David, S. A., "Grain Refinement in Castings and Welds", TMS-AIME, Warrendale, PA, p. 223, (2005).
7. Balasubramanian, M., Jayabalan, V. Balasubramanian, V., "Effect of Pulsed Current Gas Tungsten Arc Welding Parameters on Microstructure of Titanium Alloy Welds," *Journal of Manufacturing Science and Engineering*, Vol. 131, p. 064502, (2009).
8. Kumar, A., and Sundarajan, S., "Optimization of pulsed TIG welding process parameters on mechanical properties of AA 5456 Aluminum alloy weldments," *Materials & Design*, Vol. 30, pp. 1288-1297, (2009).
9. Madhusudhan Reddy, G., Gokhale, A. A., Prasad Rao, K., "Optimization of pulse frequency in pulsed current gas tungsten arc welding of Al-lithium alloy steels," *J Mater Sci Technol*, Vol. 14, pp. 61-6, (1998).

10. Senthil Kumar, T., Balasubramanian, V., Sanavullah, M. Y., "Influences of pulsed current tungsten inert gas welding parameters on the tensile properties of AA 6061 aluminium alloy," *Materials & Design*, Vol. 28, pp. 2080-2092, (2007).
11. Kumar A, S. S., "Selection of welding process parameters for the optimum but joint strength of an aluminum alloy," *Materials Manufacturing Process*, Vol. 21(8), pp. 789–793, (2006).
12. Phadke, M. S, "Quality Engineering Using Robust Design, Prentice Hall," Englewood Cliffs, NJ, (1989).
13. Ross, P., "Taguchi techniques for quality engineering: loss function, orthogonal experiments, parameter and tolerance design", McGraw-Hill Professional, (1996).
14. Balasubramanian, M., Jayabalan, V., Balasubramanian, V., "Optimizing the pulsed current gas tungsten arc welding parameters",: Vol. 22, pp. 821-825, (2006).
15. Giridharan, P. and Murugan, N, "Optimization of pulsed GTA welding process parameters for the welding of AISI 304L stainless steel sheets", *The International Journal of Advanced Manufacturing Technology*, vol. 40, pp. 478-489, (2009).
16. Kumar, A. and Sundarajan, S, "Effect of welding parameters on mechanical properties and optimization of pulsed TIG welding of Al-Mg-Si alloy," *The International Journal of Advanced Manufacturing Technology*, vol. 42, pp. 118-125, (2009).
17. Pan, L.K., Wang C. C., Hsiao, Y. C., Ho, K. C., "Optimization of Nd: YAG laser welding onto magnesium alloy via Taguchi analysis," *Optics & Laser Technology*, Vol. 37, pp. 33-42, (2005).
18. R. O'brien, "Welding Handbook". Vol. 2: Welding Processes.(Retroactive Coverage), American Welding Society, p. 955, (1991).
19. ASM International, Welding, brazing and soldering. ASM handbook, Vol 6. Materials Park, Ohio, (1993).
20. A. S. f. Testing and Materials, "Annual book of ASTM standards," (1987).
21. Arboggerini A, Mcshane H. B., "Effect of Zn and Si additions on structure and properties of rapidly solidified Mg-Al alloys", *J Mater Sci Technol*:9. PP.763–9. (1994).
22. Manti, R. and Dwivedi, D., "Microstructure of Al-Mg-Si Weld Joints Produced by Pulse TIG Welding," *Materials and Manufacturing Processes*, Vol. 22, pp. 57-61, (2007).
23. Manti, R. Dwivedi, D. K., and Agarwal, A., "Microstructure and hardness of Al-Mg-Si weldments produced by pulse GTA welding," *The International Journal of Advanced Manufacturing Technology*, Vol. 36, pp. 263-269, (2008).
24. Manti, R. Dwivedi, D. K., and Agarwal, A., "Pulse TIG Welding of Two Al-Mg-Si Alloys," *Journal of Materials Engineering and Performance*, Vol. 17, pp. 667-673, (2008).
25. Cao, X., Jahazi, M., "Effect of welding speed on the quality of friction stir welded butt joints of a magnesium alloy", *Materials & Design*, Vol. 30, pp. 2033–42. (2009).